AKT/FoxO3a通路在白藜芦醇抑制大鼠肾脏间质纤维化中的作用

孙荣嵘,冯小华,王婷婷,刘 楠,张瑞城,钟良宝 海南医学院第一附属医院 肾内风湿免疫科,海南 海口 570206

摘 要:目的 探讨蛋白激酶 B(Akt)/FoxO3a通路在白藜芦醇抑制肾脏纤维化中的作用。方法 将55只SD大鼠随机分为假手术组(10只)和造模组(45只),采用单侧输尿管梗阻法构建大鼠肾间质纤维化模型,45只造模SD大鼠术后随机分为模型组和白藜芦醇(20、40 mg/kg)干预组,每组15只。干预组大鼠于术后 ig 白藜芦醇 20、40 mg/kg,1次/d,持续2周。模型组大鼠 ig 等量生理盐水。HE、Masson染色观察肾组织病理变化,免疫组化检测α-SMA 阳性细胞,Western blot 检测Akt、p-Akt、FoxO3a、p-FoxO3a蛋白。结果假手术组、模型组、白藜芦醇 20 mg/kg干预组和白藜芦醇 40 mg/kg干预组肾小管损伤病理评分分别为(0.36±0.05)、(4.07±0.53)、(3.92±0.48)和(3.21±0.35),其中白藜芦醇 20 mg/kg干预组又显著低于造模对照组间无显著性差异,假手术组评分显著低于白藜芦醇干预组(P<0.05),白藜芦醇 40 mg/kg干预组又显著低于造模对照组(P<0.05)。假手术组、模型组和白藜芦醇 40 mg/kg干预组α-SMA 阳性细胞比例分别为(3.84±0.62)%、(52.36±14.27)%和(26.15±4.63)%,3组间具有显著性差异(P<0.01)。FoxO3a和Akt蛋白表达三组间无显著性差异,p-Akt和p-FoxO3a蛋白表达在模型组 SD大鼠显著减低,但白藜芦醇 40 mg/kg干预组p-Akt和p-FoxO3a蛋白表达高于模型组,低于假手术组。结论白藜芦醇可以减低p-Akt和p-FoxO3a蛋白表达,发挥抗肾间质纤维化作用。

关键词: 白藜芦醇; AKT/FoxO3a通路; 大鼠; 肾间质纤维化; p-Akt; p-FoxO3a

中图分类号: R965 文献标志码: A 文章编号: 1674-6376 (2019) 11-2165-04

DOI: 10.7501/j.issn.1674-6376.2019.11.007

Effect of AKT/FoxO3a pathway in resveratrol inhibiting renal interstitial fibrosis in rats

SUN Rongrong, FENG Xiaohua, WANG Tingting, LIU Nan, ZHANG Ruicheng, ZHONG Liangbao Department of Rheumatology and Immunology, First Affiliated Hospital of Hainan Medical College, Haikou 570206, China

Abstract: Objective To investigate the role of protein kinase B (Akt)/FoxO3a pathway in the inhibition of renal fibrosis by resveratrol. Methods 55 SD rats were devided into sham-operated group (10 rats) and model group (45 rats). The rat model of renal interstitial fibrosis was established by unilateral ureteral obstruction. 45 SD rats were randomly divided into model group and resveratrol (20, 40 mg/kg) intervention group, and each group had 15 rats. The rats in the intervention group were ig 20, 40 mg/kg resveratrol, once daily for 2 weeks. The rats in model group received the same amount of normal saline. HE and Masson staining was used to observe renal pathological change. α-SMA positive cells were detected by immunohistochemical staining. Akt, p-Akt, FoxO3a, and p-FoxO3a were detected by Western blot analysis. Results The pathological scores of renal tubular injury in shamoperated group, model group, resveratrol 20 mg/kg intervention group, and resveratrol 40 mg/kg intervention group were (0.36 ± 0.05), (4.07 ± 0.53) , (3.92 ± 0.48) , and (3.21 ± 0.35) , respectively. There was no significant difference between resveratrol 20 mg/kg intervention group and model control group. The scores in sham-operated group was significantly lower than that in the resveratrol intervention group (P < 0.05), and resveratrol (40 mg/kg) intervention group was lower than that in model control group (P < 0.05). The percentage of alpha-SMA positive cells in sham-operated group, model group, and resveratrol 40 mg/kg intervention group was $(3.84\pm0.62)\%$, $(52.36\pm14.27)\%$, and $(26.15\pm4.63)\%$, respectively. There was significant difference among the three groups $(P < 1.84\pm0.62)\%$ 0.01). There was no significant difference of FoxO3a and Akt protein expression among the three groups. The p-Akt and p-FoxO3a protein expression in model group SD rats was decreased significantly. However, the expression of p-Akt and p-FoxO3a protein in resveratrol 40 mg/kg intervention group was higher than that in model control group, and lower than that in sham-operated group.

大個日初・2017-03-04

收稿日期: 2019-03-04

基金项目:海南省自然科学基金(20158333)

Conclusion Resveratrol can reduce the expression of p-Akt and p-FoxO3a protein and play an Anti-renal interstitial fibrosis role. **Key words:** Reservation; AKT/FoxO3a pathway; rat; renal interstitial fibrosis; p-Akt; p-FoxO3a

慢性肾脏病(chronic kidney disease, CDS)的发病率为10%~13%,肾脏纤维化是CDS肾功能逐渐丧失的主要因素[1],其中细胞外基质(extracellular matrix,ECM)的大量产生和在肾间质沉积是肾纤维化的主要因素。如何抑制肾间质纤维化,延缓CDS疾病的进展一直是国际肾脏病领域研究的热点^[2]。白藜芦醇(resveratrol)是植物中的天然抗氧化剂,为来源于虎杖根茎的一种非黄酮类多酚化合物^[3],研究显示白藜芦醇对肾脏损害有明显的保护作用^[4],甚至可以发挥抗肾间质纤维化的作用^[5]。

本研究构建了单侧输尿管梗阻大鼠肾间质纤维化模型,在此基础上探讨了蛋白激酶B(Akt)/FoxO3a通路在白藜芦醇抑制肾脏纤维化中的作用。

1 材料和方法

1.1 材料

奥林巴斯BX53MRF-S显微镜(Olympus公司), DYCZ-25D型双垂直电泳仪、DYCZ-40G型转印电 泳仪(北京市六一仪器厂)。水合氯醛钠(10%,美国 sigama 公司,批号 20180113),白藜芦醇(美国 sigama 公司产品,批号 20180126)。 Masson 染色试 剂盒(购自 Solarbio 公司,批号 20180227),α-SMA 免 疫组化染色抗体试剂盒(北京中山金桥生物科技有 限公司,批号20180411),碱性磷酸酯酶显色试剂 盒(美国 cell signal 公司,批号 20180415)。Akt、p-Akt、FoxO3a、p-FoxO3a 和 GAPDH 抗体(美国 cell signal 公司,批号 20180312、20180222、20180119、 20180301、20180216),辣根过氧化物酶标记二 抗(美国 cell signal 公司)。清洁级 SD 雄性大鼠 55 只,体质量170~220g,购自海南医学院动物实验中 心提供,自由饮食水,适应饲养3d后,进行造模 处理。

1.2 造模与给药

55只SD大鼠使用数字表法标号后,随机分为假手术组(10只)和造模组(45只),造模组45只SD大鼠采用单侧输尿管梗阻法构建大鼠肾间质纤维化模型^[6],简述如下:ip 0.3 mL/kg水合氯醛钠麻醉大鼠,偏右侧位置手术台上固定后备皮消毒,脊柱左侧1 cm、肋腰点下 0.5 cm做 1.5 cm切口,开腹后暴露肾脏,分离左侧输尿管,4号无菌丝线双重结扎输尿管后在两结中间剪断输尿管,逐层缝合肌肉及皮肤,消毒,盖无菌纱布。假手术对照组 10只SD大

鼠仅分离左侧输尿管,不做结扎,然后缝合腹腔,其 余处理同造模组。

45 只造模组 SD 大鼠随机分为模型组、白藜芦醇 20 mg/kg 干预组和白藜芦醇 40 mg/kg 干预组,每组 15 只。白藜芦醇干预组分别于术后当天 ig 白藜芦醇 20、40 mg/kg,1 次/d,持续 2 周。其余 SD 大鼠每天 ig 等量生理盐水。所有 SD 大鼠均自由进食、饮水,采用标准颗粒饲料喂养。

1.3 HE、Masson和免疫组化观察肾组织病理变化

实验结束后断颈处死所有 SD 大鼠,取肾脏组织送病理科制作病理切片,常规HE染色,Masson染色参照试剂盒说明书完成,中性树胶封片,显微镜下观察肾组织病理变化,计算肾小管损伤的病理得分,每个标本光镜下随机选取 10 个高倍视野(×200),肾小管坏死、空泡变性<10%记为1分,<25%记为2分、<50%记为3分、<75%记为4分、≥75%记为5分。α-SMA免疫组化染色参照抗体试剂盒说明书完成,细胞出现棕黄色为阳性,Image多媒体彩色病理图像分析软件分析阳性细胞比例,光镜下每张切片随机选取10个高倍视野(×200)取平均值。

1.4 AKT/FoxO3a 通路的 Western blot 检测

实验结束后断颈处死所有 SD 大鼠,取肾脏组织 50 mg,液氮下研磨,PBS洗涤 2次后,加入蛋白裂解液,取 10 μg 总蛋白进行 SDS-PAGE 凝胶电泳,转移蛋白至 PVDF 膜,按照抗体说明书加入 Akt、p-Akt、FoxO3a、p-FoxO3a 和 GAPDH 抗体,12 h 孵育过夜后,加入辣根过氧化物酶标记二抗,使用碱性磷酸酯酶显色试剂盒显色目的条带。BandScan 5.0软件扫描图片以内参为对照计算个目的条带的相对灰度值。

1.5 统计学处理

选用 SPSS 18.0 软件进行统计学分析,计量资料采用t检验,多组均数比较使用方差分析,组间相互比较使用LSD检验,计数资料采用 γ 检验。

2 结果

2.1 肾脏病理组织形态学改变

从图1和图2可见,假手术组大鼠肾组织结构 正常,小管基底膜连续完整,模型组肾小管上皮细 胞空泡变性、萎缩坏死、管腔扩张,部分可见蛋白管 型,间质区域增大,胶原纤维增多,其中白藜芦 醇(40 mg/kg)干预组上述肾脏改变较模型组显著减 轻,但白藜芦醇(20 mg/kg)干预组上述肾脏改变与模型组无显著性差异。假手术组、模型组、白藜芦醇(20 mg/kg)干预组和白藜芦醇(40 mg/kg)干预组肾小管损伤病理评分分别为(0.36±0.05)、(4.07±0.53)、(3.92±0.48)和(3.21±0.35),4组间具有显著

性差异(P<0.05),其中假手术组评分显著低于白藜芦醇干预组(P<0.05),白藜芦醇(40 mg/kg)干预组又显著低于模型组(P<0.05),白藜芦醇(20 mg/kg)干预组与模型组间无显著性差异,后续试验选用40 mg/kg白藜芦醇进行干预。

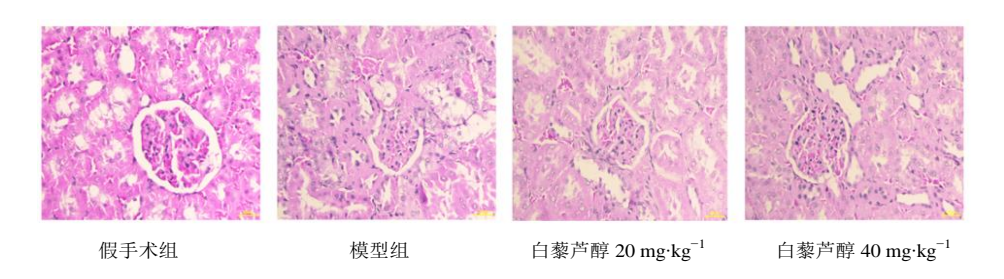


图1 组织学病理切片 HE 染色结果(×200)

Fig. 1 Histological and pathological section HE staining results (×200)

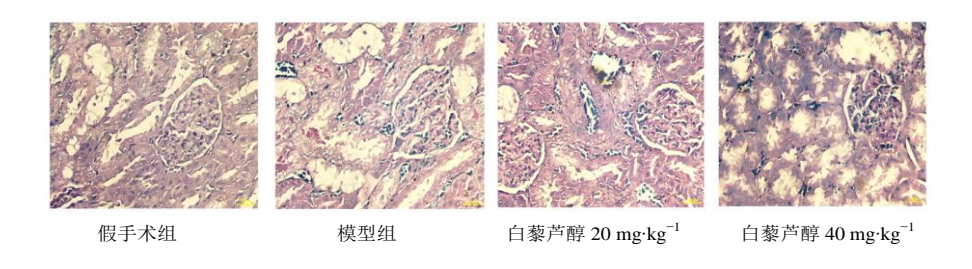


图 2 组织学病理切片 Masson 染色结果(×200)

Fig. 2 Histological and pathological sections with Masson staining results (×200)

2.2 α-SMA 表达的改变

α-SMA 免疫组化染色结果见图 3。假手术组、模型组和白藜芦醇 40 mg/kg 干预组 α-SMA 阳性细胞 比例分别为 (3.84 ± 0.62) %、 (52.36 ± 14.27) %和 (26.15 ± 4.63) %,3组间具有显著性差异 (P<0.01),其中假手术组评分显著低于白藜芦醇 40 mg/kg干预组尽干预组见著低于模型组(P<0.01)。

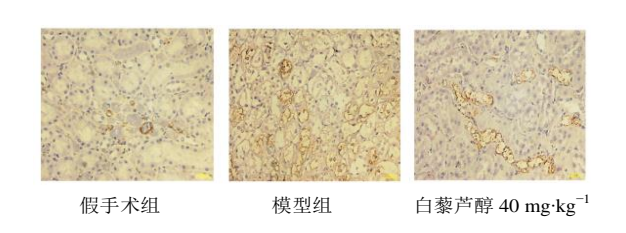


图 3 α-SMA 免疫组化染色结果(×200)
Fig. 3 Immunohistochemical staining results of alphaSMA (×200)

2.3 AKT/FoxO3a通路蛋白的改变

经密度扫描可见假手术组、模型组和白藜芦醇 40 mg/kg干预组 FoxO3a和 Akt蛋白表达3组间无显 著性差异。3组间 p-Akt、p-FoxO3a蛋白表达具有显著性差异(P<0.01),其中 p-Akt和 p-FoxO3a蛋白表达在模型组 SD 大鼠显著减低(P<0.01),白藜芦醇 40 mg/kg干预组 p-Akt和 p-FoxO3a蛋白表达显著高于模型组,但低于假手术对照组(P<0.01),见图4,表 1。

3 讨论

小管间质纤维化是慢性肾小球肾炎进展到终

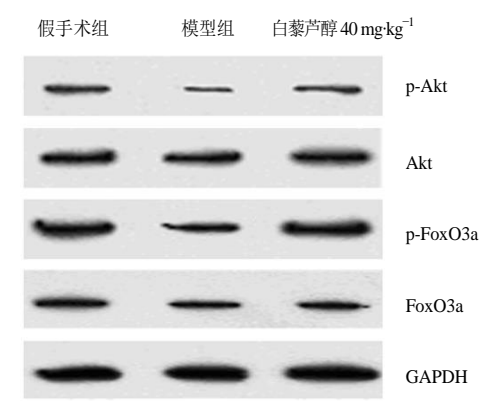


图4 Aktp-AktFoxO3a和p-FoxO3a蛋白的Westernblot检则 Fig. 4 Western blot detection of Akt, p-Akt, FoxO3a and p-FoxO3a proteins

	r in the result of the result					
组别	剂量/(mg•kg ⁻¹)	n/只	Akt	FoxO3a	p-Akt	p-FoxO3a
假手术	_	10	0.716 ± 0.042	0.872 ± 0.061	0.504 ± 0.036	0.562 ± 0.041
模型	_	15	0.721 ± 0.053	0.868 ± 0.057	$0.173\pm0.012^{**}$	$0.216\pm0.018^{**}$
白藜芦醇	40	15	0.718 ± 0.047	0.874 ± 0.063	$0.284\pm0.025^{**##}$	0.354±0.031**##

表 1 白藜芦醇对 Akt、p-Akt、FoxO3a和 p-FoxO3a蛋白表达的影响
Table 1 Effects of resveratrol on expression of Akt, p-Akt, FoxO3a and p-FoxO3a proteins

与假手术组比较:**P<0.01;与模型组比较:#*P<0.05

末期肾衰竭的必经之路,单侧输尿管结扎是目前研究肾脏间质纤维化最常用的大鼠造模方法,其操作简单,1周左右可出现间质纤维化的改变^[6],本研究使用该法均发现了造模大鼠出现肾小管损伤、间质胶原的沉积和细胞间质变的标志蛋白α-SMA表达显著增加,说明了造模成功,可以用于后续的研究。

白藜芦醇是常见的酚类抗氧化剂[$^{[7]}$,郑栓[$^{[8]}$ 在慢性肾衰竭大鼠中的研究发现白藜芦醇可以通过增强人骨形态发生蛋白 $^{[8]}$ 7(BMP-7)和 Smad6蛋白的表达,减弱转化生长因子- $^{[9]}$ 61(TGF- $^{[9]}$ 1)表达,发挥肾脏功能保护,陈薪薪等 $^{[9]}$ 6在小鼠肾纤维化模型中也发现白藜芦醇可以调节 TGF- $^{[9]}$ 7/Smads信号转导通路,参与到抗肾间质纤维化的过程中。本研究使用白藜芦醇干预模型鼠的肾间质纤维化过程也发现了干预组肾小管损伤病理评分和α-SMA 阳性细胞比例均显著低于模型对照组,说明白藜芦醇具有肾间质纤维化抑制作用。

肾脏纤维化机制复杂,牵涉到多条通路[10], PKB/AKT/FoxO3a是一条重要的调控细胞增殖和凋 亡的通路[11],同时PKB/AKT/FoxO3a通路也调控着 上皮-间充质细胞转分化(epithelia-mesenchymal transition, EMT) 过程[12], FoxO3a 是 PKB/AKT 的下 游靶蛋白,属于叉头蛋白 forkhead 转录因子家族成 员,PKB/AKT通路激活时,可以磷酸化FoxO3a, FoxO3a磷酸化后就与其伴侣蛋白14-3-3发生紧密 结合,入核减少就不能发挥转录因子的作用,其下 游靶蛋白,例如经典的纤维化调控因子TGFB表达 减少[13], Yang 等[14]研究发现抑制 PI3K/Akt/FoxO3a 通路后可以抑制缺血再灌注肾的纤维化过程。本 研究观察到 p-Akt 和 p-FoxO3a 蛋白表达在造模组 SD大鼠显著减低,说明模型组FoxO3a入核增加,发 挥转录因子的作用增加了纤维化基因的表达,但白 藜芦醇干预组 p-Akt 和 p-FoxO3a 蛋白表达高于模型 组,说明白藜芦醇增加了FoxO3a磷酸化,也就阻止 FoxO3a蛋白入核发挥转录因子的作用,从而起到了 抗纤维化的作用。综上,白藜芦醇可以减低p-Akt 和p-FoxO3a蛋白表达,发挥抗肾间质纤维化作用。

参考文献

- [1] 袁倩, 刘友华. 肾脏纤维化的细胞和分子机制研究进展 [J]. 安徽大学学报: 自然科学版, 2018, 42(5): 115-124.
- [2] 窦一田, 马鸿杰, 林 燕, 等. 中医药防治肾间质纤维化相关机制研究进展 [J]. 辽宁中医杂志, 2018, 45(8): 1778-1781.
- [3] Pannu N, Bhatnagar A. Resveratrol: from enhanced biosynthesis and bioavailability to multitargeting chronic diseases [J]. Biomed Pharmacother, 2019, 109: 2237-2251.
- [4] 张 翠, 王丹枫, 张思琪, 等. 白藜芦醇对肾纤维化大鼠肾组织 ORP150、GRP78、GRP94蛋白表达的影响 [J]. 中草药, 2018, 49(2): 406-413.
- [5] 李迎春, 郑义, 段燕灵, 等. 白黎芦醇联合厄贝沙坦对肾间质纤维化大鼠模型的影响 [J]. 中国热带医学, 2017, 17(1): 41-46.
- [6] 宋立群,盛紫阳,张慧杰,等.大鼠肾间质纤维化模型建立与活血药抗肾间质纤维化研究[J].辽宁中医药大学学报,2018,20(9):5-8.
- [7] Kim S, Shin S, Lee J, et al. Resveratrol induces mitochondrial apoptosis and inhibits epithelialmesenchymal transition in oral squamous cell carcinoma cells [J]. Nutr Cancer, 2018, 70(1): 125-135.
- [8] 郑 栓. 白藜芦醇对慢性肾衰竭大鼠肾脏组织 BMP-7、 TGF-β₁、Smads 信号通路表达的影响 [J]. 中医学报, 2018, 33(4): 616-619.
- [9] 陈薪薪, 仝 欢, 陈 宇, 等. 白藜芦醇对小鼠肾纤维化 $TGF-\beta_1/Smads$ 信号转导通路的干预研究 [J]. 中华中医 药学刊, 2016, 34(5): 1224-1227.
- [10] 李 冰, 吕海琳, 高兆丽, 等. 肾小管上皮细胞-间充质细胞转分化与肾间质纤维化的关系研究 [J]. 系统医学, 2018(21): 196-198.
- [11] Dong P, Zhang X, Zhao J, et al. Anti-microRNA-132 causes sevoflurane induced neuronal apoptosis via the PI3K/AKT/FOXO3a pathway [J]. Int J Mol Med, 2018, 42(6): 3238-3246.
- [12] Liu Z M, Tseng H, Yeh B, et al. TG-interacting factor mediates arsenic-induced malignant transformation of keratinocytes via c-Src/EGFR/AKT/FOXO3A and redox signalings [J]. Arch Toxicol, 2015, 89(12): 2229-2241.
- [13] Sun Y Y, Schaar A, Sukumaran P, et al. TGFβ-induced epithelial-to-mesenchymal transition in prostate cancer cells is mediated via TRPM7 expression [J]. Mol Carcinog, 2018, 57(6): 752-761.
- [14] Yang C, Cao Y, Zhang Y, et al. Cyclic helix B peptide inhibits ischemia reperfusion-induced renal fibrosis via the PI₃K/Akt/FoxO3a pathway [J]. J Transl Med, 2015, 13: 355.

^{**}P<0.01 vs sham group; ***P<0.05 vs model group